

بهینه‌سازی فرایند جفت‌شدن اکسایشی متان (OCM) با کاتالیست پروسکایت و مدل‌سازی سینتیکی فرایند توسط الگوریتم ژنتیک

شهرناز مختاری (کارشناس ارشد)

پژوهشگاه پلیمر و پتروشیمی ایران

علی وطنی (دانشیار)

نصرن رزمی فاروجی (کارشناس ارشد)

بردهس دانشکده‌های فنی، دانشکده‌های هندسی شیمی، دانشگاه تهران

وحید اسلامی‌منش (کارشناس ارشد)

پژوهشگاه پلیمر و پتروشیمی ایران

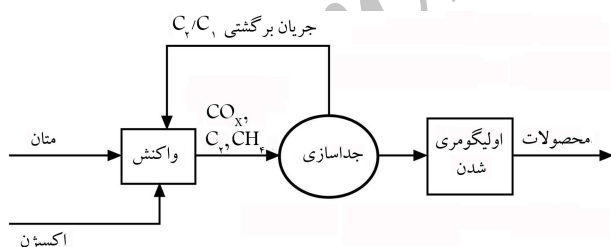
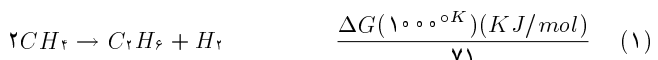
در تحقیق حاضر سینتیک فرایند جفت‌شدن اکسایشی متان (OCM) در یک ریزاکنشگر بستر ثابت و با استفاده از کاتالیست پروسکایت^۱ (SnBaTiO₃) با خوارکی شامل متان و اکسیژن و با نسبت‌های مختلف بررسی گردید. شرایط بهینه فرایند، دمای $C = 785^{\circ}C - 775^{\circ}C$ ، نسبت متان به اکسیژن: ۲ و سرعت فضایی گاز در دبی خوارک $160\text{ ml}/\text{min}^{10}$ بود است آمد. همچنین مدل‌های سینتیکی کلی این فرایند بررسی و پارامترهای بهینه آن با کمک الگوریتم ژنتیک^۲، تعیین شدند. در مقاله حاضر از میان مدل‌های سینتیکی کلی فرایند، شش مدل انتخاب و توسط الگوریتم ژنتیک در برآشنا با نتایج آزمایشی به دست آمده از سیستم آزمایشگاهی در شرایط مختلف فرایندی تحلیل و پارامترهای بهینه تعیین شدند. در میان این مدل‌ها، مدل سانتاماریا با دقت بالاتری بر روی نتایج آزمایش برآشنا شده است. همچنین الگوریتم لونبرگ — مارکوارت نیز در تحلیل و مقایسه با الگوریتم ژنتیک مورد استفاده قرار گرفت که نتایج حاصل نشان می‌دهند در الگوریتم مذکور برخلاف الگوریتم ژنتیک، امکان گرفتار شدن در دام کمینه نسبی وجود دارد.

shahrnaz.m@gmail.com
avatani@ut.ac.ir
razmi_nastaran@yahoo.com
v.eslamimanesh@ipm.ac.ir

واژگان کلیدی: الگوریتم ژنتیک، سینتیک OCM، کاتالیست پروسکایت.

۱. مقدمه

جفت‌شدن اکسایشی متان (OCM) فرایند کاتالیستی تبدیل مستقیم به هیدروکربن‌های سنگین تراست.^[۱] از آنجا که واکنش جفت‌شدن هیدروژن زدایی متان (واکنش ۱)، از نظر ترمودینامیکی میسر نیست، واکنش ۲ به کمک یک جسم اکساینده با انرژی مناسب انجام خواهد گرفت.^[۲]



شکل ۱. روند تبدیل متان به اتیلن در واکنش جفت‌شدن اکسایشی متان.^[۳]

دو نوع محصول به دست می‌آید: ۱. محصولات CO_x که به طور غیرگزینشی تشکیل می‌شوند؛ ۲. محصولات هیدروکربنی مانند اتان و اتیلن که معمولاً به عنوان C_{2+} (محصولات مطلوب) گزارش می‌شوند. تبدیل متان به CO_x نامطلوب است و سبب کاهش بازده واکنش می‌شود.^[۴]

در بین محصولات به دست آمده از متان، اتیلن دارای بیشترین ارزش افزوده است. اتیلن مهم‌ترین عنصر صنعت پتروشیمی است و در مقیاس وسیع به مواد میانی

نحوی جفت‌شدن اکسایشی متان در شکل ۱ نشان داده شده است. این واکنش در محلولی از متان و اکسیژن که بهوسیله‌ی گازی بی‌اثر (نپیر هلیم) رقیق شده است در مجاورت کاتالیزوری از اکسید فلزی انجام می‌شود. مستهای اصلی در این واکنش، رسیدن به گرینش پذیری بالا برای اتیلن و میران تبدیل مناسب متان بدون ازدست رفتن آن برای احتراق کامل است. در فرایند جفت‌شدن اکسایشی متان اصولاً تاریخ: دریافت ۱۳۸۶/۹/۱۳، داوری ۱۳۸۷/۵/۸، پذیرش ۱۳۸۷/۸/۱۸.

دلیل یافتن معادلات سرعت واکنش برای کاتالیست و طراحی واکنش‌گر بسیار حائز اهمیت است.

برای ارائه‌ی معادله‌ی تغییرات غلظت ترکیبات مختلف بر حسب زمان، واکنش‌های بنیادی مهمی که ممکن است در فاز گازی فرایند OCM انجام شود، در نظر گرفته می‌شوند. با توجه به مقالات موجود ممکن است چند صد مرحله واکنش ابتداً شامل حدود ۴۰ جزء مختلف، در تبدیل متان و اکسیژن انجام شود که با کمک آنالیز حساسیت سازوکار ساده‌تر می‌شود و محاسبات تعیین معادلات سینتیکی با سهولت پیشتری قابل انجام خواهد بود.^[۱۵]

در کار تجربی حاضر، با استفاده از یک کاتالیست پروسکایت بر پا بهی تیتانیوم در فرایند جفت‌شدن اکسایشی متان، تأثیر متغیرهای عملیاتی بر گزینش پذیری محصولات و تبدیل مواد اولیه بررسی و شرایط عملیاتی برای تولید محصولات مطلوب C_{2+} ، بهینه شدند. سپس با بررسی مدل‌های سینتیکی ارائه شده^[۲۱-۱۶] مدلی که با داده‌های آزمایشگاهی پیشترین مطابقت را داشته انتخاب شد. در نهایت با جمع‌آوری داده‌های سینتیکی، و نیز با استفاده از الگوریتم زنگنه و روش مارکوارت، پارامترها و ثوابت سرعت بهینه و معادلات سرعت از بین رفتن متان و تولید محصولات مطلوب و نامطلوب تعیین شدند.

۲. مطالعات آزمایشگاهی

۱.۲. مواد

خوارک ورودی به واکنش‌گر، مخلوط گاز متان با خلوص ۹۹/۹۹۵٪، نیتروژن با خلوص ۹۹/۹۹٪ و اکسیژن با خلوص ۹۹٪ است. از گاز نیتروژن به عنوان گاز حامل استفاده می‌شود. گاز حامل که باید از نظر شیمیایی بی‌اثر باشد به عنوان کاهنده‌ی فشار جزئی هیدروکربن‌ها عمل می‌کند. از این گاز به عنوان رقیق‌کننده نیز استفاده می‌شود تا میزان حرارتی که در فرایند OCM گرمایی است کنترل شود، زیرا فرایند باید در حالت دما ثابت انجام شود.

۲.۱. کاتالیست

کاتالیست مورد استفاده پروسکایت تیتانیوم ($SnBaTiO_2$) است. این کاتالیست به روش سرامیک^[۱۷] و در آزمایشگاه سنتز کاتالیست پژوهشگاه پلیمر و پتروشیمی ایران ساخته شده است و سپس در کوره‌یی با دمای $80^{\circ}C$ و به مدت ۸ ساعت آهکی شده است. پودر سفید حاصله با فشاری حدود ۶ton به قرص‌هایی با ارتفاع ۱mm و قطر ۲/۸cm تبدیل شده و در نهایت به صورت پودرهایی به ابعاد ۳۰-۳۵mm مشبند شدند. این پودرهای در انجام آزمایشات بعدی مورد استفاده قرار گرفتند.

۳.۱. سیستم آزمایشگاهی تست واکنش‌گری

برای مطالعه‌ی تبدیل مستقیم متan به اتیلن، سازوکار، سینتیک و سرعت واکنش یک مجموعه آزمایشگاهی شامل مخازن گازهای خوارک، واکنش‌گر، دستگاه کروماتوگرافی گازی (HEWLET PACKARD-HP6890) و تجهیزاتی موسوم به کاتاست^۱ برای انجام آزمایش‌های کاتالیزوری مورد استفاده قرار گرفت. کاتاست در برگیرنده‌ی کنترل‌کننده‌های جرمی جریان (MFC) مربوط به گازهای خوارک (O_2 ، N_2 و CH_4)، فشارسنج‌های گاز ورودی و گاز خروجی، کنترل‌کننده‌های دمای واکنش‌گر، دمای گاز ورودی و گاز خروجی و شیرهای ورودی و خروجی است. شکل ۳ شماتیکی کاتاست مورد استفاده در آزمون‌های سینتیکی را نشان می‌دهد.

و محصولات نهایی متعددی تبدیل می‌شود که اصلی‌ترین آنها مواد پلیمری (نظیر پلاستیک‌ها، رزین‌ها، فیبرها و الاستومرها) است. سایر محصولات مهم به دست آمده از اتیلن عبارت‌اند از حلال‌ها، مواد فعال سطحی، نرم‌کننده‌ها و دیرانجمادها. واکنش جفت‌شدن اکسایشی معمولاً در محدوده دمایی $65^{\circ}-88^{\circ}C$ انجام می‌شود.^[۱۸-۲۰]

به دلیل گرمایی شدید این واکنش، با پیشرفت واکنش دما افزایش می‌یابد. در سال ۱۹۸۲ برای نخستین بار گزارشی درباره‌ی تبدیل مستقیم متان به اتیلن از راه جفت‌شدن اکسایشی منتشر شد.^[۲۱] پس از آن، کارهای زیادی در زمینه‌ی کاتالیزورها و سینتیک و سازوکار جفت‌شدن اکسایشی متان بر روی این کاتالیست‌ها انجام گرفت.^[۱۱-۱۰] واکنش‌های فاز گازی فرایند OCM مطابق یک سازوکار رادیکالی و شامل مراحل زیر در نظر گرفته شد:^[۱۱]

الف) مرحله‌ی آغازی:

ب) تولید رادیکال مตیل:

ج) اکسایش رادیکال‌های متیل به گونه‌های CH_2O و CH_2O_2 :

د) زوج شدن رادیکال‌های متیل برای تولید ترکیبات C_2 :

ه) اکسیداسیون گونه‌های CO و CH_2O به CO_2 و CH_2O_2 :

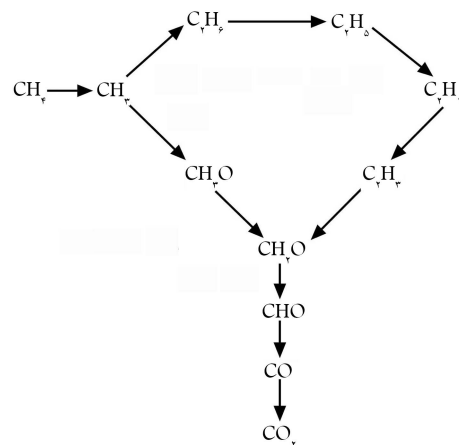
و) هیدروژن‌زدایی از اتان و تبدیل آن به اتیلن:

برای محاسبه‌ی ثابت سرعت مرحله‌ی رفت واکنش‌ها در مدل بالا از عبارت آرنسوی مطابق معادله‌ی ۳ استفاده می‌شود:

$$K(T) = A T^n \exp[-E_a/RT] \quad (3)$$

در تحقیق دیگری، شبکه‌ی واکنش‌های هموژن فرایند OCM به صورت شکل ۲ در نظر گرفته شد.^[۱۲] معادلات سرعت در این مدل نیز به صورت معادلات آرنسوی فرض شده‌اند.

در تحقیق یادشده، پیشترین بازده محصولات مطلوب (حدود ۱۵/۶٪) در دمای $820^{\circ}C$ و با نسبت متان به اکسیژن برابر ۲/۵ به دست آمده است. همچنین بیشترین میزان نسبت اتیلن به اتان حدود ۱۳/۷ در دمای $130^{\circ}C$ در دمای $80^{\circ}C$ گزارش شده است. بیشتر محققین در مرود تشکیل اتان به روش هیدروژن‌زدایی از متان بر روی سطح کاتالیست، و سپس جفت‌شدن رادیکال‌های متیل در فاز گازی اتفاق نظر دارند.^[۱۳] به همین



شکل ۲. واکنش‌های فرایند جفت‌شدن اکسایشی متان (OCM).

به کمک یک فاز متغیر و یک فاز ساکن در ستون جداسازی می‌شود؛ مقدار و نوع هر جزء گازی توسط پیک‌هایی که به رایانه‌ی متصل به GC نشان می‌دهد، مشخص می‌شود. این دستگاه دارای دو ستون آنالیز است که با پرکننده‌های غربال مولکولی $5A^{\circ}$ به طول 50 متر برای جداسازی CO_2 و O_2 و ستون Q HP-plot به طول 50 متر برای جداسازی CO_2 , CH_4 , C_2H_6 تهیه شده‌اند.

۳. بررسی و تحلیل نتایج آزمایشات

پس از آماده‌سازی واکنش‌گر، مقدار مورد نظر از کاتالیست آهکی‌شده و آماده‌شده داخل واکنش‌گر ریخته می‌شود. مخلوط‌گار خوارک شامل متان، نیتروزن و اکسیژن است. خوارک ورودی با دبی‌های متفاوت $120-280 \text{ ml/min}$ با نسبت‌های مشخصی از CH_4/O_2 داخل واکنش‌گر پر شده از کاتالیست فرستاده می‌شود. واکنش OCM در فشار اتمسفریک و در محدوده‌ی دمایی $775-785^{\circ}\text{C}$ صورت می‌گیرد.

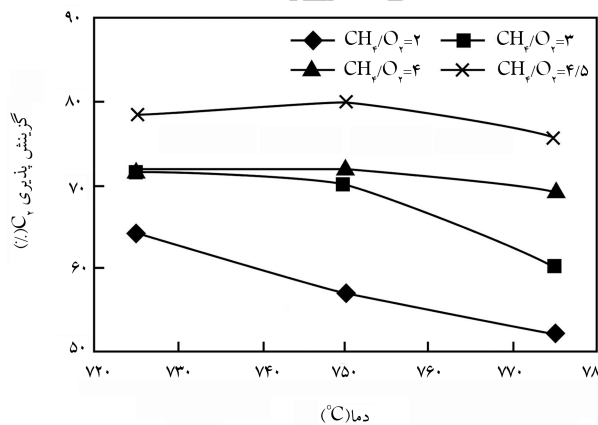
۱.۱.۱. بررسی عوامل تأثیرگذار در سازوکار و سینتیک واکنش

مهم‌ترین متغیرهای عملیاتی عبارتند از:

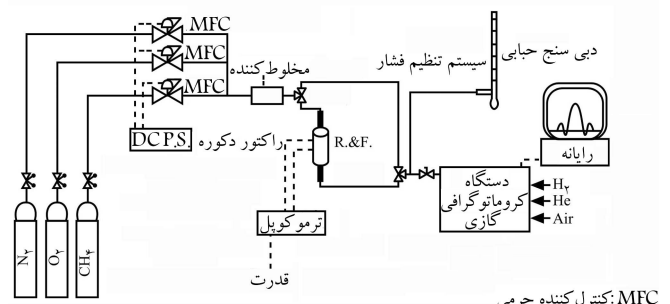
۱. نسبت مولی متان به اکسیژن در خوارک (غلظت اجراء)؛
۲. درجه حرارت؛
۳. سرعت فضایی جریان گاز ($GHSV$)^۶؛

۱.۱.۲. تأثیر نسبت مولی متان به اکسیژن در خوارک

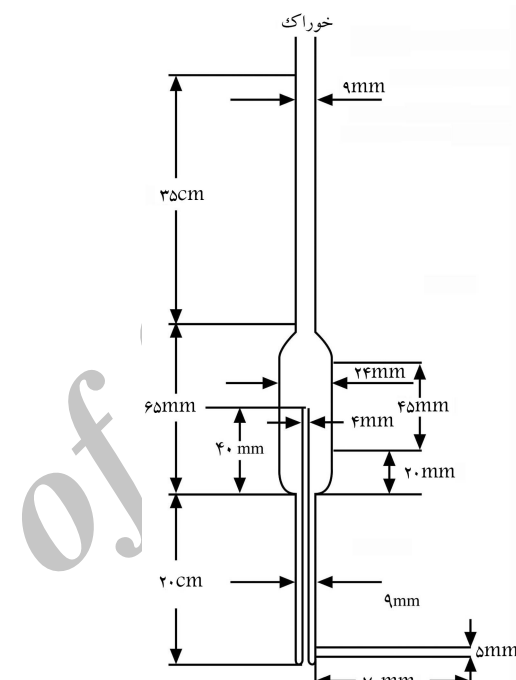
با افزایش نسبت متان به اکسیژن در خوارک، گزینش‌پذیری محصولات مطلوب^۷ افزایش یافته و میزان درصد تبدیل^۸ کاهش می‌یابد (شکل‌های ۵ و ۶). نتایج تجربی نشان می‌دهند افزایش نسبت متان به اکسیژن باعث کم شدن عامل فعال سازی متan (یعنی اکسیژن) و در نهایت کاهش میزان تبدیل متan می‌شود؛ بیشترین اثر این کاهش بر انجام واکنش‌های احتراق مشاهده شده است. از طرفی هرچه نسبت متan به اکسیژن افزایش می‌یابد، بدلیل کمبود اکسیژن میزان CO و CO_2 کم می‌شود؛ لذا این امر گزینش‌پذیری محصولات مطلوب را افزایش می‌دهد. چون کاهش تبدیل



شکل ۵. تأثیر نسبت متان به اکسیژن بر میزان گزینش‌پذیری محصولات مطلوب در $GHSV = 100 \text{ min}^{-1}$ و $160 \text{ ml}/\text{min}$.



شکل ۳. شماتیک اتاق استفاده در آزمون‌های سینتیکی.



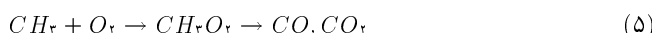
شکل ۴. مشخصات واکنش‌گر مورد استفاده برای آزمایشات OCM.

سینتیک واکنش جفت‌شدن اکسایشی متan در یک ریزوواکنش‌گر بسترهای^۵ با قطر داخلی 9 mm از جنس کوارتز انجام شد. در شکل ۴ ابعاد دقیق و شماتیکی واکنش‌گر مورد استفاده نشان داده شده است. در این واکنش‌گر کاتالیست پروسکایت با شکل، اندازه، ترکیب و مقدار مناسب بر بستری از کوارتز خرد شده قرار می‌گیرد و مخلوط‌گازهای واکنش‌گر از خلال آن می‌گذرد. تفاوت قطر موجود در واکنش‌گر در ناحیه‌ی بستر کاتالیزور و کوارتز به دلیل افزایش سرعت عبوری گاز و کاهش زمان اقامت محصولات در ناحیه‌ی پایین محل بستر کاتالیزور است. به این ترتیب، از تبدیل محصولات مطلوب به محصولات جانبی جلوگیری می‌شود.

برای تأمین دمای واکنش، واکنش‌گر را در یک کوره‌ی استوانه‌ی قرار می‌دهند. برای اندازه‌گیری و کنترل دمای بستر کاتالیست نیز از یک ترموموپل استفاده می‌کنند. ترموموپل داخل واکنش‌گر دقیقاً در ناحیه‌ی پر شده از کاتالیست قرار گرفته و به کنترل کننده‌ی کوره متعلق می‌شود.

جریان خروجی از واکنش‌گر (CH_4 , C_2H_6 , CO , CO_2 , N_2 , O_2 , H_2) پس از حذف آب به وسیله‌ی مبرد، و نیز ورود به دستگاه کروماتوگرافی گازی، مورد آنالیز قرار می‌گیرد. در کروماتوگرافی گازی اجزاء مختلف یک نمونه‌ی گازی

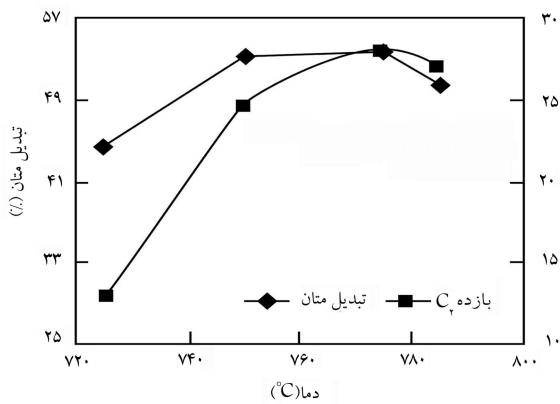
CH_4 متناسب است.



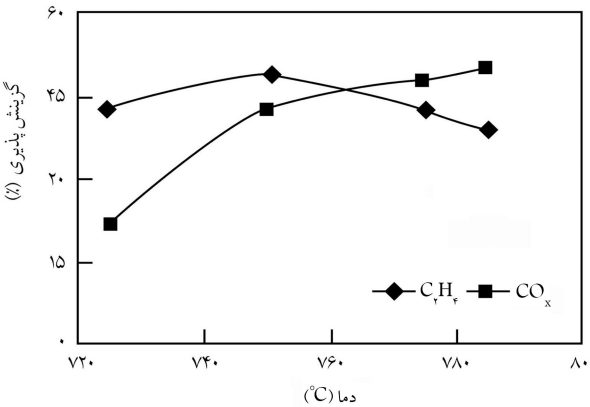
دماهای بالا رادیکال‌های متیل بیشتری را برای تشکیل C_2 تولید می‌کند و گزینش پذیری زیاد می‌شود. این روند افزایش تا دمای 750°C ادامه می‌یابد و از آن به بعد به عملت اکسایش بیشتر C_2 به CO و CO_2 ، گزینش پذیری C_2 کاهش می‌یابد که نشان‌دهندهٔ افزایش تبدیل متان و هیدروکربن‌های دیگر به اکسیدهای کربن است. احتمالاً در این دماها پایداری اکسیدهای کربن بیشتر از اتیلن است.

۳.۱.۳ تأثیر سرعت فضایی گاز (GHSV) بر پارامترهای مؤثر

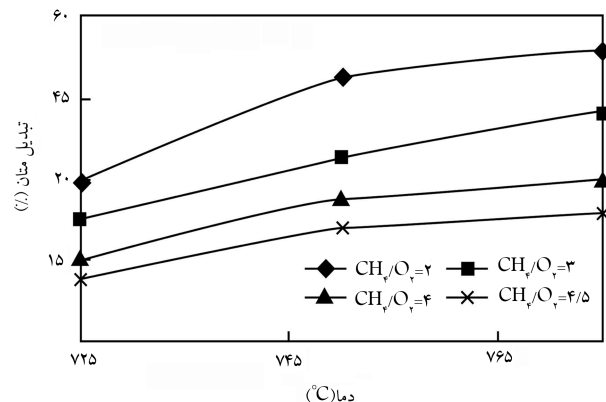
سرعت فضایی گاز با زمان اقامت رابطهٔ عکس دارد. زمان اقامت که توسط جریان کل کنترل می‌شود، تأثیر مهمی بر تبدیل CO و CO_2 و افزایش گزینش پذیری افزایش زمان اقامت باعث کاهش گزینش پذیری CO و CO_2 محسولات مطلوب می‌شود (شکل ۱۰)؛ زیرا با توجه به ثابت‌بودن جرم کاتالیست مصرفی و رو به کاهش بودن دبی ورودی، حضور کاتالیست به میزان کافی سبب سهولت انجام فرایند، افزایش گزینش پذیری محسولات C_2 و نهایتاً افزایش بازده می‌شود. نتایج تجربی نشان می‌دهد که زمان کوتاه منجر به گزینش پذیری C_2 کم



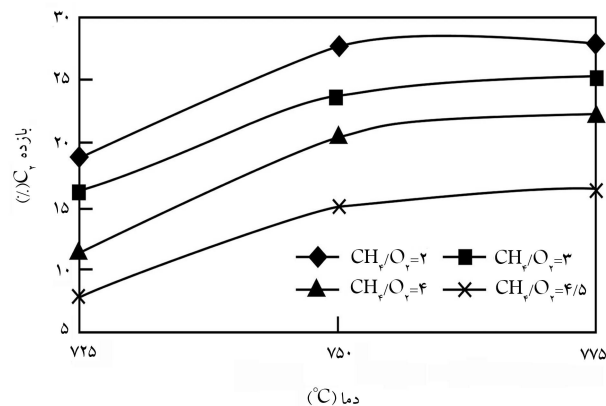
شکل ۸. تأثیر دما بر بازده محسولات مطلوب و درصد تبدیل متان در دبی $\text{GHSV} = 100 \text{ min}^{-1}$ و 160 ml/min .



شکل ۹. تأثیر دما بر میزان گزینش پذیری محسولات در دبی ورودی CH_4 و CO_2 متناسب با $\text{GHSV} = 100 \text{ min}^{-1}$ و 160 ml/min .



شکل ۶. تأثیر نسبت متان به اکسیژن بر میزان درصد تبدیل متان در دبی $\text{GHSV} = 100 \text{ min}^{-1}$ و 160 ml/min .



شکل ۷. تأثیر نسبت متان به اکسیژن بر بازده C_2 در دبی $\text{GHSV} = 100 \text{ min}^{-1}$ و 160 ml/min .

متان شدیدتر از افزایش گزینش پذیری محسولات C_2 با افزایش O_2/CH_4 کاهش می‌یابد (شکل ۷).

۳.۲.۱ تأثیر دما بر پارامترهای مؤثر فرایند OCM

شکل ۸ تأثیر دما بر بازده محسولات مطلوب در نسبت‌های متفاوت از متان به اکسیژن را در دبی 160 ml/min نشان می‌دهد.

چنان‌که در شکل ۸ دیده شود بازده محسولات مطلوب با افزایش دما افزایش می‌یابد. زیرا با افزایش دما تا 775°C سرعت واکنش نیز افزایش می‌یابد و درنتیجه نمودار بازده سیر صعودی خواهد داشت و سپس از یک نقطهٔ بیشینه می‌گذرد. دلیل این امر را می‌توان نزدیک شدن به نقطهٔ آمکی شدن کاتالیست پروسکایت بر پایهٔ تیتانیم در دمای ابتدایی 775°C عنوان کرد. محدودهٔ دمایی بهینه برای به دست آوردن بازده مناسب $750-775^\circ\text{C}$ است. زیرا در این محدوده تبدیل متان و اکسیژن به بینترین مقدار خود می‌رسد. در توجیه این اثر می‌توان که مرحلهٔ کنترل کنندهٔ سرعت در تبدیل متان، مرحلهٔ جدا کردن اولین هیدروژن از آن است و با افزایش دما از ریزی لازم برای این عمل فراهم می‌شود. در این محدودهٔ دمایی، پایداری اتیلن بیشتر از هیدروکربن‌های دیگر است. مطابق شکل ۹ گزینش پذیری اتیلن با افزایش دما افزایش می‌یابد؛ این افزایش را می‌توان توجه کرد؛ واکنش‌های ۴ و ۵ نشان می‌دهند که تشکیل ترکیبات C_2 متناسب با مرغ غلطت CH_2 است، اما مقدار CO_2 و CO با درجهٔ کمتری از غلطت

نظر می‌رسد که چنین فرضی در میزان‌های تبدیل کم یا واکنش‌گرهای کوچک کم عمق صادق است. مثلاً درمورد واکنش‌های کند، اگر در واکنش‌گرهای بزرگ هم انجام بگیرد یا واکنش‌های درجه صفر که با تغییرات زیاد ترکیب نسبی مواد نیز همراه باشد، فرض مذکور صدق می‌کند. برای هر آزمایش در یک واکنش‌گر دیفرانسیلی، معادله‌ی عملکرد جریان قالبی به صورت معادله‌ی ۶ خواهد بود:

$$\frac{w}{F_A} = \int_{x_{A,in}}^{x_{A,out}} \frac{-dx_A}{-r_A} = \frac{x_{A,in} - x_{A,out}}{(-r_A)_{av}} \quad (6)$$

اگر تغییرات سرعت واکنش در داخل واکنش‌گر به اندازه‌ی زیاد باشد که اعمال تغییرات در روش مطالعه‌ی واکنش‌الرامی باشد فرض واکنش‌گر انتگرالی صدق می‌کند. چنین نوساناتی معمولاً هنگامی مشاهده می‌شود که ترکیب نسبی سیال ترکیب‌شونده در هنگام عبور از واکنش‌گر تغییرات زیادی داشته باشد. در واکنش‌گر انتگرالی به منظور به دست آوردن سرعت مصرف باید ابتدا نمودار درصد تبدیل متان بر حسب w/F_A رسم شود؛ سپس با عبور بهترین منحنی و تعیین شب مماس در هر نقطه، سرعت واکنش به ازاء هر x_A براساس رابطه‌ی ۷ به دست می‌آید.

$$-r_A = dx_A/d(w/F_A). \quad (7)$$

به این ترتیب از هر آزمایش مقداری برای سرعت واکنش به‌ازای انتگرال غلط نشانش‌گرهای در داخل واکنش‌گر حاصل می‌شود.^[۱۹] مدل‌های سینتیکی کلی که برای تطابق با داده‌های آزمایشگاهی در نظر گرفته شده‌اند، شامل ۶ مدل هستند:

۱. مدل گریتس^[۱۶]

۲. مدل سانتاماریا^[۱۷]

۳. مدل چنگ و شوا^[۱۸]

۴. مدل قوانی^[۱۹]

۵. مدل ماریا تریکوا^[۲۰]

۶. مدل لانگلی^[۲۱]

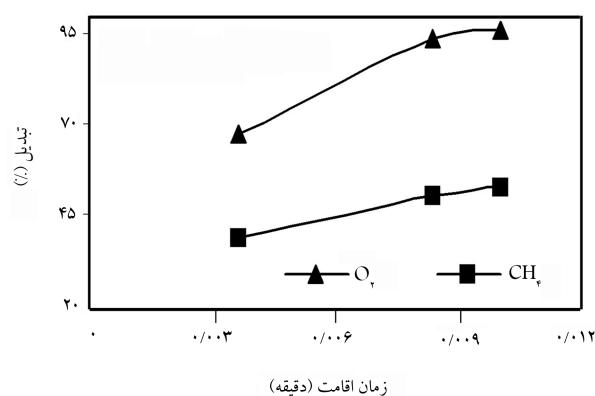
واکنش‌های فازگازی فرایند OCM طبق یک سازوکار رادیکالی صورت می‌گیرد که شامل تعداد زیادی واکنش‌های ابتدایی است. در این تحقیق مدل‌های سینتیکی فرایند را به صورت متمنکر، و مشتمل بر سرعت مصرف متان، سرعت تولید محصولات مطلوب $C_6 + CO_x$ و محصولات نامطلوب CO_x مطابق جدول ۱ در نظر می‌گیرند. در این تحقیق به منظور تطابق نتایج آزمایشگاهی با مدل‌های سینتیکی فرایند OCM از بهینه‌سازی با روش‌های عددی مختلف، از جمله روش مارکوارت و الگوریتم زنگنه، استفاده شده است.

۱.۲.۳ روش مارکوارت

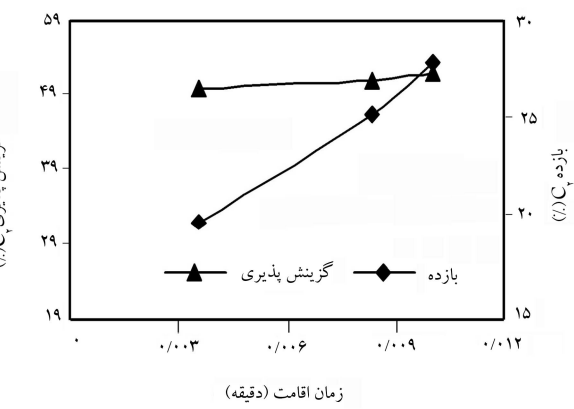
روش مارکوارت یکی از روش‌های بهینه‌سازی، تحلیل غیرخطی حداقل مجموع مربعات است که در حل مسائل غیر خطی کاربرد دارد. برای بهینه‌سازی به این روش که از دستور `lsqcurvefit` نرم‌افزار Matlab استفاده می‌کند، یک حدس اولیه (x_0) مورد نیاز است. پارامتری که میزان خطاب به‌وسیله‌ی آن نشان داده می‌شود مقدار باقی‌مانده σ است که به اختصار می‌توان آن را چنین تعریف کرد:

$$\text{مقدار باقی‌مانده} = \text{مقدار محاسبه شده} - \text{مقدار واقعی} \quad (8)$$

بدینه‌ی است هرچه میزان باقی‌مانده کم‌تر باشد، به دقت متغیرهای بهینه‌شده بیشتر می‌توان اطمینان کرد. این روش نسبت به حدس‌های اولیه حساس است و ممکن است در دام مقادیر بهینه‌ی محلی همگرا شود.



شکل ۱۰. تأثیر زمان اقامت بر درصد تبدیل متان و اکسیژن در $O_2/CH_4 = 2$ و $T = 775^\circ C$.



شکل ۱۱. تأثیر زمان اقامت بر گزینش پذیری و بازده محصولات در $O_2/CH_4 = 2$ و $T = 775^\circ C$.

می‌شود. افزایش زمان اقامت بدلیل ایجاد فضای مناسب برای اکسایش، سبب افزایش درصد تبدیل متان و بازده محصولات مطلوب می‌شود (شکل ۱۱). با توجه به انجام فرایند در شرایط عملیاتی مختلف، بیشترین میزان بازده محصولات مطلوب C_6 (٪ ۲۷/۹۹) با تنظیم متغیرهای عملیاتی به شرح زیر حاصل شد:

محدوده‌ی دمایی: $750 - 775^\circ C$

نسبت متان به اکسیژن: ۲

سرعت فضایی گاز در دبی خوارک 160 ml/min^{-1}

۲.۳ روش‌های تجربی به دست آوردن سرعت واکنش

روش تجربی مطالعه‌ی واکنش کاتالیستی معمولاً شامل اندازه‌گیری میزان تبدیل گازی است که از یک بستر کاتالیست جامد به طور مداوم عبور می‌کند. از هر نوع جریان به شرط معلوم بودن آن می‌توان استفاده کرد. در غیراین صورت سرعت واکنش قبل محاسبه نخواهد بود. حتی می‌توان از واکنش‌گرهای ناپیوسته نیز برای به دست آوردن سرعت واکنش بهره جست. واکنش‌گرهایی که می‌توان از آنها برای انجام این هدف بهره‌گرفت عبارت‌اند از واکنش‌گر دیفرانسیلی و واکنش‌گر انتگرالی. واکنش‌گر دیفرانسیلی جاری با فرض ثابت بودن سرعت واکنش در تمام نقاط داخل آن مشخص می‌شود. با توجه به این که سرعت واکنش تابع غلط است به

جدول ۱. معادله‌های سرعت پیشنهادی برای سینتیک کلی فرایند OCM.

نام مدل	سرعت تولید محصولات مطلوب (C_{t+})	سرعت تولید محصولات نامطلوب (COx)	سرعت مصرف متان
سانتا	$(5,367 \times 10^4) \exp(-26100/T)$ $\cdot C_{CH_4}^{1/2} \cdot C_{O_2}^{1/5} \cdot T^{1/2} +$ $(1,464 \times 10^4) \exp(-26200/T)$ $\cdot C_{CH_4}^{1/8} \cdot C_{O_2}^{1/8} \cdot T^{1/78}$	$(1,29 \times 10^6) \exp(-(36100/T))$ $\cdot C_{CH_4}^{1/2} \cdot C_{O_2}^{1/5} \cdot T^{1/2} +$ $0,822 \exp(-(14900/T))$ $\cdot C_{CH_4}^{1/8} \cdot C_{O_2}^{1/8} \cdot T^{1/8}$	$(7,67 \times 10^5) \exp(-(27600/T))$ $\cdot C_{CH_4}^{1/2} \cdot C_{O_2}^{1/5} \cdot T^{1/2}$
ماریا			
توانی	$K_j P_{CH_4}^{m_i} \cdot C_{O_2}^{n_j}$	$K_j P_{CH_4}^{m_i} \cdot C_{O_2}^{n_j}$	$K_j P_{CH_4}^{m_i} \cdot C_{O_2}^{n_j}$
لانگلیل	$\left(\left(1 + \frac{\Delta K_f (C_P/C_T) P_{CH_4}}{K_f \cdot P_{O_2}^{1/2}} \right)^{1/5} - 1 \right)^2$ $- \Delta S_o K_f (C_P/C_T) P_{C_f}$ $\left(\left(1 + \frac{\Delta K_f (C_P/C_T) P_{CH_4}}{K_f \cdot P_{O_2}^{1/2}} \right)^{1/5} - 1 \right)^2$ $+ 16 S_o K_f (C_P/C_T) P_{C_f}$	$\left(\left(1 + \frac{\Delta K_f (C_P/C_T) P_{CH_4}}{K_f \cdot P_{O_2}^{1/2}} \right)^{1/5} - 1 \right)^2$ $- \Delta S_o K_f (C_P/C_T) P_{C_f}$	$\left(\left(1 + \frac{\Delta K_f (C_P/C_T) P_{CH_4}}{K_f \cdot P_{O_2}^{1/2}} \right)^{1/5} - 1 \right)^2$ $- \Delta S_o K_f (C_P/C_T) P_{C_f}$
جنگ و شوا	$0,015 \exp(-6134/T) \cdot C_{CH_4}^{1/2} \cdot C_{O_2}^{1/5} +$ $2 \cdot (0,016 \exp(-1190/T) \cdot C_{CH_4}^{1/4} \cdot C_{O_2}^{1/4})$	$1 \times 10^{-4} \exp(-7722/T) \cdot C_{CH_4}^{1/4} \cdot C_{O_2} +$ $0,015 \exp(-6134/T) \cdot C_{CH_4}^{1/2} \cdot C_{O_2}^{1/5}$	$0,6 \exp(-1190/T) \cdot C_{CH_4}^{1/4} \cdot C_{O_2}^{1/5} +$ $1 \times 10^{-16} \exp(-26461/T) \cdot C_{CH_4}^{1/4} \cdot C_{O_2}^{1/6}$
گریش	$0,016 \exp(-100/RT) P_{CH_4}^{1/2} \cdot P_{O_2}^{1/2} +$ $0,02 \exp(-150/RT) P_{CH_4}^{1/4} \cdot P_{O_2}^{1/4}$	$0,02 \exp(-70/RT) P_{CH_4}^{1/2} \cdot P_{O_2}^{1/2} +$ $0,02 \exp(-150/RT) P_{CH_4}^{1/4} \cdot P_{O_2}^{1/4}$	$0,016 \exp(-100/RT) P_{CH_4}^{1/2} \cdot P_{O_2}^{1/2} -$ $0,02 \exp(-70/RT) P_{CH_4}^{1/4} \cdot P_{O_2}^{1/4}$
ماریا تری کوا	$7,09 \times 10^6 \exp(-(27661/RT) P_{CH_4}^{1/2} \cdot P_{O_2}^{1/2} +$ $2 \times 3,54 \times 10^8 \exp(-(39768/RT) P_{CH_4}$	$7,09 \times 10^6 \exp(-(27661/RT) P_{CH_4}^{1/2} \cdot P_{O_2}^{1/2}$	$3,54 \times 10^8 \exp(-(39800/RT) P_{CH_4}$

۲.۲.۳ روش زنتیک

برای بهینه‌سازی به روش زنتیک در نرم‌افزار Matlab از دستور GA استفاده می‌شود. در این روش در نظر گرفتن حدس اولیه ضروری نیست و همین امر از جمله خصوصیات است که این روش را بر سایر روش‌ها ارجح می‌سازد. البته در این روش تعیین حد بالا^{۱۱} و حد پایین^{۱۲} ضرورت دارد. از آنجاکه نحوه عملکرد بهینه‌سازی در این روش ساختار تقریباً متفاوتی نسبت به سایر روش‌ها دارد، شرح مختصری از پارامترهای مورد استفاده در آن مفید فایده خواهد بود:

تابع هدف^{۱۳}: تابعی است که بهینه‌کردن آن مورد هدف است.

$$\psi_{min} = \sum_{i=1}^n \left| r_{exp,i} - r_{model,i} \right|^2 \quad (9)$$

$$AARD_{y_i} = \frac{1}{N} \sum_{i=1}^N \left| \frac{y_{i EXP} - y_{i model}}{y_{i EXP}} \right| \quad (10)$$

از آنجاکه روش مارکوارت به حدس اولیه بسیار وابسته است و در صورت غیر خطی بودن مدل ممکن است در دام مقادیر بهینه‌ی محلی همگرا شود، به منظور تطبیق داده‌های تجربی با مدل‌های موجود از روش الگوریتم زنتیک استفاده شده و مدل مطلوب انتخاب شده است که نتایج آن در جدول ۲ مشاهده می‌شود.

چنان‌که در جدول ۳ مشاهده می‌شود، حداقل مجموع مربعات و قدر مطلق انحراف متوسط بازده محصولات و درصد تبدیل متان در مدل سانشماریا نسبت به مدل‌های دیگر کمترین مقدار است. مدل توانی بعد از این مدل دارای نتایج مطلوب تری نسبت به بقیه‌ی مدل‌های است.

در نمودارهای ۱۲ تا ۱۵ نتایج تطبیق داده‌های تجربی و مدل انتخابی در روش زنتیک مقادیر درصد تبدیل، سرعت متابن، راندمان و گزینش پذیری محصولات مطلوب در دماهای مختلف آمده است. چنان‌که مشاهده می‌شود بهینه‌سازی خطای درصد گزینش پذیری محصولات مطلوب حاصل از مدل سازی و نتایج تجربی ۱۵٪ ± برای

Individual: هر نقطه‌یی که توسط آن مقدار تابع هدف مشخص می‌شود. جمعیت^{۱۴}: ردیفی از نقاط (individuals) که تعداد آنها با تعداد متغیرهای که باید بهینه شود (n) یکسان است. حال اگر اندازه جمعیت^{۱۵} (m) نیز معین باشد، یک ماتریس حاوی $n \times m$ ستون به دست می‌آید.

نسل جدید^{۱۶}: در هر تکرار^{۱۷} یکسری محاسبات بر روی جمعیت صورت گرفته و یک جمعیت جدید حاصل می‌شود. با ایجاد هر جمعیت جدید، یک نسل جدید وجود خواهد داشت.^[۲۴,۲۵]

ویژگی‌های الگوریتم زنتیک عبارت است از:

۱. این روش از این قابلیت برخوردار است که بدون حدس اولیه، کار خود را با حدس اولیه‌ی تصادفی که در محدوده پارامتر جمعیت است آغاز کند.

۲. در هر مرحله، از داده‌های (individuals) همان نسل استفاده شده و یک نسل جدید حاصل می‌شود. نحوه عملکرد در این مرحله چنین است:

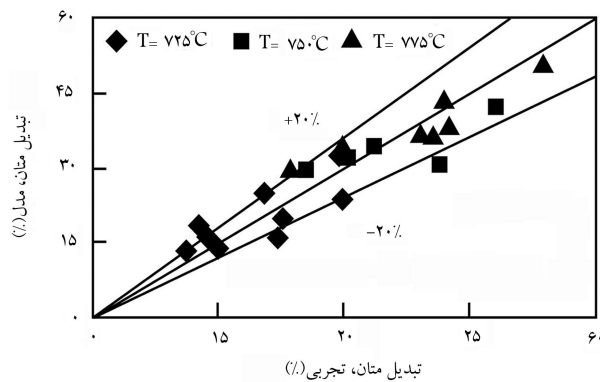
الف) محاسبه ارزش هر عضو از جمعیت توسط تابع هدف؛

ب) مقایسه ارزش هر عضو؛

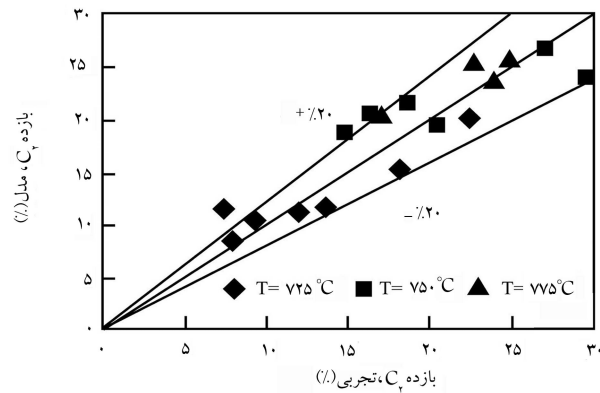
ج) مرتب‌کردن اعضاء براساس ارزش آنها؛

مقادیر لگاریتم رابطه‌ی سرعت و عکس دمای مطلق استفاده شده است. ضرایب رگرسیون (r) نیز در هر مورد درج شده است. چنان که مشاهده می‌شود ضرایب رگرسیون حدود ۱ بوده که نشان‌گر همبستگی خوب داده‌های تجربی در پیروی از مدل لگاریتم خطی است.

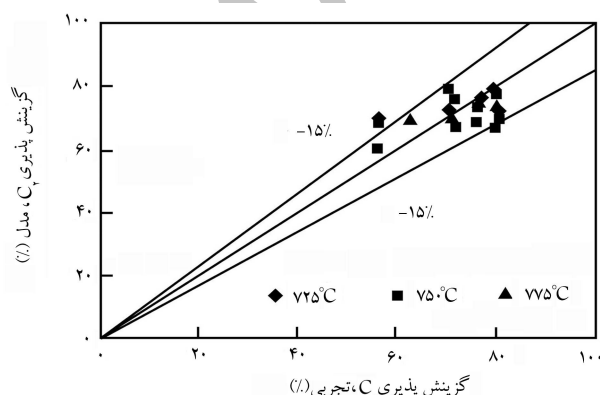
$$K_i = K_{oi} \times \exp(-E_i/RT) \quad (14)$$



شکل ۱۲. مقایسه‌ی درصد تبدیل متان حاصل از مدل‌سازی با مقادیر تجربی مدل سانتاماریا در دماهای مختلف.



شکل ۱۳. مقایسه‌ی بازده محصولات C₂ حاصل از مدل‌سازی با مقادیر تجربی مدل سانتاماریا در دماهای مختلف.



شکل ۱۴. مقایسه‌ی گزینش پذیری محصولات C₂ حاصل از مدل‌سازی با مقادیر تجربی مدل سانتاماریا در دماهای مختلف.

جدول ۲. مقایسه مدل‌های سینتیکی در تطابق با داده‌های آزمایشگاهی در دمای ۷۲۵°C

مدل سینتیکی	حداقل مجموع مربعات ψ_{\min} (mol/gr.min) ^۱	انحراف متوسط بازده محصولات مطلوب	انحراف متوسط درصد تبدیل متان
سانتاماریا	$5,11 \times 10^{-8}$	۰,۰۸۹	۰,۰۶۹
توانی	$2,41 \times 10^{-7}$	۰,۲۴	۰,۱۸
لانگلیل	$1,6 \times 10^{-7}$	۰,۵۷	۰,۱۹
چنگ و شوا	$2,4 \times 10^{-7}$	۰,۳۹۴	۰,۳۸۸
گریتس	$1,22 \times 10^{-7}$	۰,۶۷	۰,۷۳
ماریا تری کوا	$9,6 \times 10^{-7}$	۰,۹۹۶	۰,۹۹۴

جدول ۳. پارامترهای الگوریتم زنتیک در مدل سانتاماریا در دمای ۷۲۵°C

مدل	سایز جمعیت: ۳۰				
	مقدادیر بهینه شده	حدس اولیه (X ₀)	حد بالا (upper bound)	حد پایین (lower bound)	پارامترها
سانتاماریا	۰,۰۸۳	۰,۰۰۱	۱۰	۰	$K_1 \times 10^4$
	۰,۰۰۸	۰,۰۰۱	۱۰	۰	$K_2 \times 10^4$
	۰,۱۴	۰,۰۰۱	۱۰	۰	$K_3 \times 10^4$
	۰,۱۹	۰,۰۰۱	۱۰	۰	$K_4 \times 10^4$
	۰,۰۴۴	۰,۰۰۱	۱۰	۰	$K_5 \times 10^4$
	۰,۰۷۱	۰,۱	۵	-۱	a
	۰,۰۹۶	۰,۱	۵	-۱	b
	۰,۰۰۶	۰,۱	۵	-۱	c
	۰,۹۴	۰,۱	۵	-۱	d
	۰,۸۴	۰,۱	۵	-۱	e
	۰,۰۳۵	۰,۱	۵	-۱	f
	۱,۰۷	۰,۱	۵	-۱	g
	۰,۰۱۸	۰,۱	۵	-۱	h
	۰,۲۷	۰,۱	۵	-۱	i
	۰,۲۸	۰,۱	۵	-۱	j

واحد K: mol/(gr.min).(atm)^{m+n}

$m=a,c,e,g,i$
 $n=b,d,f,h,j$

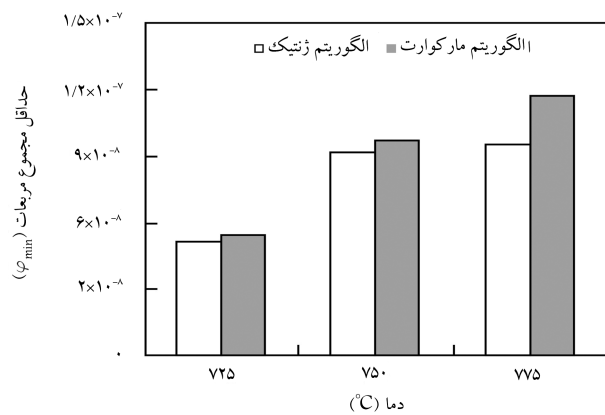
درصد تبدیل متان، بازده محصولات مطلوب و سرعت مصرف متان $\pm 20\%$ است. در جدول ۳ پارامترهای الگوریتم زنتیک، و در جدول ۴ مقادیر بهینه‌ی ثابت سرعت برای مدل سانتاماریا براساس معادلات ۱۱ تا ۱۳ ارائه شده است:

$$-r_{CH_4} = K_1 (P_{CH_4}^a \times p_O^b) \quad (11)$$

$$r_{CO_X} = K_2 (P_{CH_4}^c \times p_O^d) + K_3 (P_{CH_4}^e \times p_O^f) \quad (12)$$

$$r_{C_{rr}} = K_4 (P_{CH_4}^g \times p_O^h) + K_5 (P_{CH_4}^i \times p_O^j) \quad (13)$$

ثابت‌های سینتیکی برای معادلات سرعت در جدول ۵ ارائه شده است. برای محاسبه‌ی ثابت سرعت و مقادیر انرژی فعالیت در رابطه‌ی ۱۴ از رگرسیون خطی بین



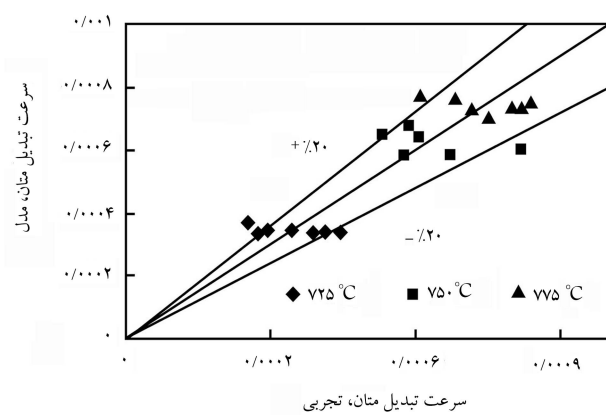
شکل ۱۶. مقایسه میزان خطای حداقل در مدل سانتاماریا با روش‌های LM و GA در سه دمای مختلف.

از حدس مناسب اولیه، امکان رسیدن به اپیتم مطلق وجود نداشت. با رعایت نکته فوق پارامترهای حاصل از روش کلاسیک LM نیز با دقت قابل قبولی نسبت به روش GA حاصل شده‌اند. اگرچه زمان سیری شده الگوریتم LM از سرعتهای بالاتری برخوردار است، ولی استفاده از این الگوریتم هنگامی توصیه می‌شود که حدس‌های مناسب انتخاب شوند تا در دام اپیتم نسبی گرفتار نشود و این امر مستلزم داشتن اطلاعات از محدوده پارامترهای سینتیکی است.

۴. نتیجه‌گیری

در این تحقیق به منظور بررسی سینتیک فرایند OCM از یک سیستم کاتالیست و کاتالیست پروسکایت SnBaTiO_2 استفاده شد و فرایند تحت شرایط عملیاتی مختلف دمایی ($725\text{--}785^\circ\text{C}$)، نسبت متان به اکسیژن متفاوت ($2\text{--}4/5$) و در دبی‌های مختلف خوارک و روودی ($120\text{--}280\text{ ml/min}$) بررسی شده و شرایط بهینه برای به دست آوردن محصولات مطلوب C_{2+} حاصل شده است. به طور کلی تبدیل متان با افزایش دما، زمان اقامت، غلظت اکسیژن (یا نسبت اکسیژن به متان) زیاد می‌شود. راندمان محصولات دوکربنی نیز با کاهش نسبت متان به اکسیژن و افزایش زمان اقامت افزایش می‌یابد و با افزایش دما از نقطه‌ی بیشینه عبور می‌کند. در تحقیق حاضر همچنین مدل سازی سینتیکی کلی فرایند، توسط الگوریتم ژنتیک انجام شد و کاربرد مؤثر این روش در تعیین پارامترهای بهینه‌ی معادله‌ی سرعت واکنش‌ها ارائه شد. با تطبیق نتایج آزمایشگاهی در شرایط علمیاتی مختلف، بهترین مدل سینتیکی - مدل سانتاماریا - انتخاب شد و پارامترهای آن با روش الگوریتم ژنتیک بهینه شد. مدل سانتاماریا با استفاده از رگرسیون خطی بین مقادیر لگاریتم رابطه‌ی سرعت و عکس دمای مطلق، با دقت خوبی تعیین شدند.

همچنین با استفاده از الگوریتم مارکوارت و مقایسه نتایج با الگوریتم ژنتیک نشان داده شد که در الگوریتم ژنتیک تابعیت زیادی به حدس اولیه وجود ندارد، اما سرعت هم‌گرایی آن تا حدودی کمتر است. از طرفی امکان به دام افتادن در کمینه‌ی نسبی در الگوریتم مارکوارت وجود دارد که این امر در الگوریتم ژنتیک به چشم نمی‌خورد.



شکل ۱۵. مقایسه سرعت مصرف متان حاصل از مدل‌سازی با مقادیر تجربی مدل سانتاماریا در دمای مختلف.

جدول ۴. مقادیر ثابت سرعت مدل سانتاماریا در دمای مختلف.

دما (°C)	ثابت سرعت مدل سانتاماریا	معادله سرعت مدل سانتاماریا
775°C	$K \times 10^4$	$\text{mol}/(\text{gr}.\text{min}).(\text{atm})^{(m+n)}$
761	۰,۳۸۲	K_1
۷۱	۰,۰۲۲	K_2
۳۹,۸	۱۶,۶	K_3
۱	۰,۱۴۶	K_4
۰,۳۶۹	۰,۰۹۶	K_5

جدول ۵. ثابت سینتیکی معادلات سرعت مدل سانتاماریا.

ضرائب رگرسیون	ثبت سرعت	
	انرژی فعال‌سازی (kJ/mol)	$\text{mol}/(\text{gr}.\text{min}).(\text{atm})^{(m+n)}$
r_1	$2,23 \times 10^{15}$	$K_{0,1}$
	۳۸۶,۸	E_1
r_2	$2,16 \times 10^{13}$	$K_{0,2}$
	۴۴۶,۲	E_2
r_3	$2,057 \times 10^{10}$	$K_{0,3}$
	۱۶۵,۴	E_3
r_4	$1,059 \times 10^{10}$	$K_{0,4}$
	۲۸۴,۷	E_4
r_5	$1,2 \times 10^{14}$	$K_{0,5}$
	۲۳۰	E_5

به منظور مقایسه روش الگوریتم ژنتیک (GA) و روش کلاسیک مارکوارت (LM) از نظر دقت و صحت نتایج در این مرحله، پس از دریافت حدس مناسب GA با کمک الگوریتم LM سعی شد نتایج تجربی و معادلات مدل سانتاماریا مقایسه شوند که در شکل ۱۶ نتایج این مقایسه در سه دمای مختلف آمده است.

لازم به ذکر است که در روش LM برای مدل ارائه شده، در صورت عدم استفاده

فهرست علائم

φ_{min} : حداقل مجموع مریعات خط ^r (mol/gr.min)	ΔG : اختلاف انرژی آزاد گیبس (kJ/mol)
AARD: میزان قدر مطلق انحراف متوسط	GHSV: سرعت فضایی جریان گاز (min ⁻¹)
K_i : ثابت سرعت واکنش ⁱ (mol/(kg.s)(pa) ^{m+n})	$X_{i,in}$: جزء مولی ورودی جزء ⁱ
m: توان فشارهای جزئی متان در رابطهٔ سرعت (a, c, e, g, i)	$X_{i,out}$: جزء مولی خروجی جزء ⁱ
n: توان فشارهای جزئی اکسیژن در رابطهٔ سرعت (b, d, f, h, j)	$F_{A,in}$: دبی مولی ورودی خوارک (mol/min)
K_{oi} : ثابت سرعت آرینوسی (mol/(kg.s)(pa) ^{m+n})	$F_{A,out}$: دبی مولی خروجی خوارک (mol/min)
E_i : انرژی فعال‌سازی (kJ/mol)	W: وزن کاتالیست (gr)
r: سرعت واکنش (mol/[(gr.cat.)(min)])	

پابلوشت

1. oxidative coupling of methane
2. perovskite
3. genetic algorithm
4. cata test
5. fixed-bed micro reactor
6. gas hourly space velocity
7. selectivity
8. conversion
9. yield
10. residual
11. upper bound
12. lower bound
13. fitness function
14. population
15. population size
16. generation
17. iteration
18. children
19. parents

منابع

1. Shamsi, A., and zahir, kh. "Oxidative coupling of methane over perovskite-type oxides and correlation of Tmax for Oxygen desorption with C₂ selectivity," *Energy & Fuels*, **3**, p. 727 (1989).
2. Zanthonoff, H., and Bearns, M. "Oxidative coupling of methane in the gas phase, kinetic simulation and experimental verification," *Ind. Eng. Chem. Res.*, **29**, p. 2 (1990).
3. Sekine, Y.; Nishimura, T., and Fujimoto, K. "Oxidative coupling of methane in the gas phase: simulation and reaction mechanism," *Energy & Fuels*, **12**, p. 828 (1998).
4. Vahidi, M. "Oxidative coupling of methane over LA₂O₃/TiO₂," *J. School of Eng.*, **15** (1), p. 105-116 (2003).
5. Yaghobi, N. & et Al. *Methane Conversion to Ethylene by Oxidative Coupling Reaction*, 6th National Conference on Chemical Engineering, Isfahan, Iran, pp. 245-253 (2001).
6. Lunsford, J.H. "Oxidative coupling of methane over oxide supported by catalysts," *Chem. Int. Ed. Engl.*, **34**, p. 970 (1995).
7. Pitchai, P., and Klier, K. "Comments on the mechanism of oxidative coupling of methane," *Catal. Rev Sci. Eng.*, **28**, p. 13 (1986).
8. Lunsford, J.H. "The catalytic conversion of methane to higher hydrocarbons," *Catal. Today*, **6**, p. 235 (1990).
9. Keller, G., and Bhasin, M. "Synthesis of ethylene via oxidative coupling of methane," *Journal of catalysis*, **73**, p. 9 (1982).
10. Lo, M.Y.; Argawal, S.K., and Mercelin, G. "Oxidative coupling of methane over antimony-based catalysts," *G., J. Catal.*, **112**, p. 163 (1988).
11. Lo, M.Y.; Argawal, S.K., and Mercelin, G. "A study of the oxidative coupling and total oxidation of methane over supported antimony oxide catalyst," *G., J. Catal.*, **3**, p. 137 (1988).
12. Chen, Q.; Hoebink, J., and Marin, G. "Kinetics of the oxidative coupling of methane at atmospheric pressure in the absence of catalyst," *Ind. Eng. Chem. Res.*, **30**, p. 2088 (1991).
13. Pannek, U., and Mleczko, L. "Comprehensive model of oxidative coupling of methane in a fluidized-bed reactor," *Chem. Eng. Sci.*, **5**(14), pp.3575 (1996).
14. Fujimoto, K.; Hashimoto, S.; Asami, K., and Tomiaga, H. "Selective oxidative coupling of methane over supported alkaline earth metal halide catalysts," *J. App. Catal.*, **50**, p. 223 (1989).
15. Khakdaman, H.R. et al. "Non-catalytic oxidative coupling of methane kinetic and effect steam," *Engineering Faculty Journal*, **2**, p. 189 (1381).
16. Greets, J.W., and Hoebink, J.H. *Novel production methods for ethylene*, New York, Chapter 11, p.207 (1991).
17. Santamaria, J.; Miro, E., and Wolf, E. "Reactor simulation studies of methane oxidative coupling on a Na/NiTiO₃ catalyst," *Ind. Eng. Chem. Res.*, **30**, pp. 1157-1167 (1991).
18. Cheng, S. and Shuai, X. "Simulation of a catalyst membrane reactor for oxidative coupling of methane," *AIChE Journal*, **41**, pp. 6, (1995).

19. Sohrabi, M.; Dabir, B., and Eskandari, A. "Some aspects of kinetics and mechanism of the oxidative coupling of methane," *J. Chem. Tech. Biotechnol.*, **67**, pp. 15-20 (1996).
20. Traykova, M.; Davidova, N., and Tsaih, J. "Oxidative coupling of methane: the transition from reaction to transport control over $\text{La}_2\text{O}_3/\text{MgO}$ catalyst," *J. Appl. Catalysis. A* 168, 237-247 (1998).
21. Langille, J.; Pasale, J., and Ren, J.Y. "The use of OCM reactors for ignition enhancement of natural gas combustion for practical applications: Reactor design aspects," *Chemical Engineering Science*, **61**, Issue 20, pp. 6637-6645 (2006).
22. Karami, M. *Characterization and preparing of Perovskite crystal network and investigation of catalytic properties*, Ms Thesis, Azad university of Tehran (1382).
23. Gen, M., and Cheng, R. *Genetic Algorithm and engineering Design*, John Wiley and Sons, Inc., Ashikaga, Japan (1997).
24. Haupt, R.L., and Haupt, S.E. *Practical Genetic Algorithm*, John Wiley and Sons, Inc., New York (1998).
25. Fatemi, Sh. "Kinetic modeling of desulphurization by genetic algorithm," *Journal of Faculty of Engineering*, **40**(2), p. 207 (1385).

Archive of SID